

Konzepte für Experimente an zukünftigen Hadroncollidern I

PD Dr. Oliver Kortner

07.12.2020

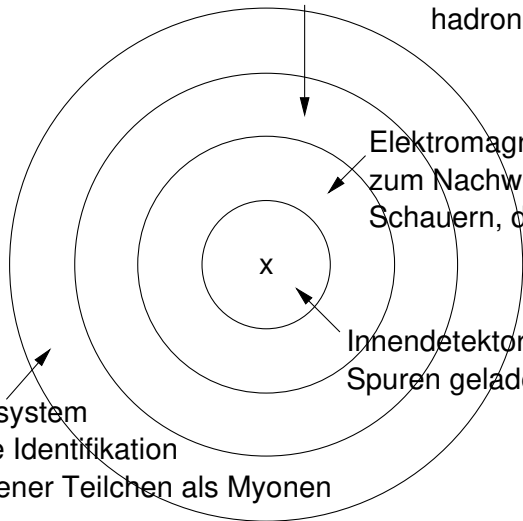
Grundstruktur eines Teilchendetektors am Hadroncollider

Hadronkalorimeter zum Nachweis
hadronischer Schauer

Elektromagnetisches Kalorimeter
zum Nachweis von elektromagnetischen
Schauern, die von e^{\pm} und γ stammen

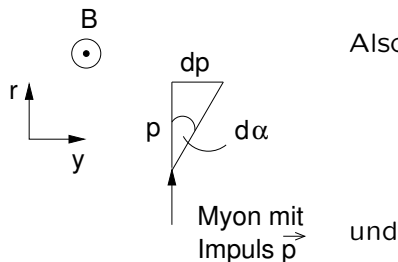
Innendetektor zur Messung der
Spuren geladener Teilchen

Myonsystem
für die Identifikation
geladener Teilchen als Myonen



Spurverlauf im Magnetfeld des Innendetektors

$$d\alpha = \frac{dp}{p} = \frac{qvBdt}{p} = \frac{q}{p}B \underbrace{vdt}_{=ds=dr} = \frac{q}{p}Bds.$$



$$\alpha(r) \approx \frac{q}{p} \int_{r_0}^r B(s) ds$$

und

$$y(r) = \int_{r_0}^r \alpha(r') dr' = \frac{q}{p} \int_{r_0}^r \int_{r_0}^{r'} B(s) ds dr'.$$

Beispiel. $p = 1 \text{ GeV}$. $r_0 = 0$. $B = 2 \text{ T}$.

$$\alpha(10 \text{ cm}) = 60 \text{ mrad}. \quad y(10 \text{ cm}) = 3 \text{ mm}.$$

$$\alpha(1 \text{ m}) = 0,6 \text{ rad}. \quad y(1 \text{ m}) = 30 \text{ mm}.$$

Impulsauflösung im Innendetektor

- Ablenkwinkel im Abstand r von pp -Kollisionspunkt:

$$\alpha(r) = \frac{q}{p} \int_0^r B ds$$

- Gesamtablenkwinkel: $\alpha := \alpha(r_{max})$ (r_{max} Radius des Innendetektors).
- Fehlerfortpflanzung:

$$\begin{aligned} \delta\alpha &= \frac{|q|}{p^2} \int_0^{r_{max}} B ds \cdot \delta p = \alpha \cdot \frac{\delta p}{p} \Leftrightarrow \frac{\delta p}{p} = \frac{\delta\alpha}{\alpha} \\ \frac{\delta p}{p} &= \frac{\delta\alpha}{\frac{|q|}{p} \int_0^{r_{max}} B ds} \end{aligned}$$

Impulsauflösung im Innendetektor

$$\frac{\delta p}{p} = \frac{\delta \alpha}{\frac{|q|}{p} \int_0^{r_{max}} B ds}$$

- Beiträge zu $\delta \alpha$

$$\begin{aligned} \delta \alpha &= \sqrt{(\delta \alpha_{\text{Vielfachstreuung}})^2 + (\delta \alpha_{\text{Detektorauflösung}})^2} \\ &= \sqrt{\left(13,6 \text{ MeV} \sqrt{\frac{D}{X_0}}\right)^2 + (\delta \alpha_D)^2} \end{aligned}$$

Also ist

$$\frac{\delta p}{p} = \frac{13,6 \text{ MeV} \sqrt{\frac{D}{X_0}}}{|q| \int B ds} \oplus \frac{\delta \alpha_D}{|q| \int B ds} \cdot p$$

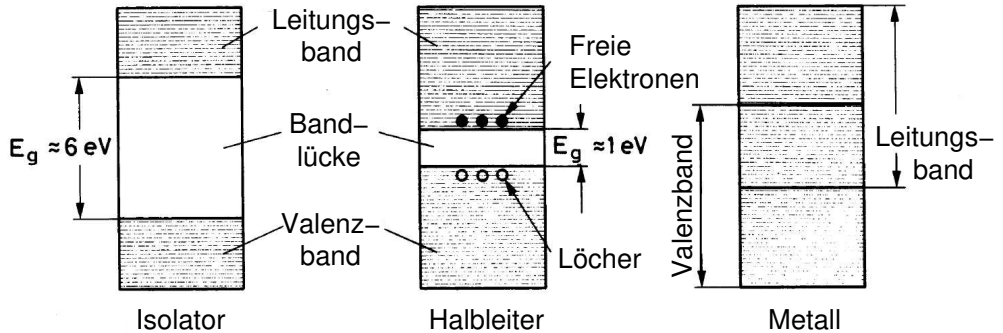
Anforderungen

- Wenig Detektormaterial zur Minimierung des Streuungsbeitrags zur Impulsauflösung.
- Hohe Ortsauflösung zur Maximierung der Impulsauflösung für hochenergetische Teilchen.
- Hohe Granularität, um auch bei hohen Teilchendichten die Spuren der einzelnen Teilchen voneinander trennen zu können.
- Strahlenhärte.

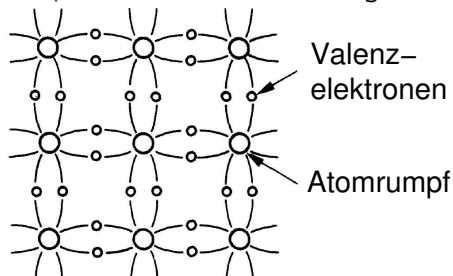
Eingesetzte Detektortypen

- Ursprünglich Gasionisationsdetektoren verwendet, die wenig Material einbringen, aber begrenzte Ortsauflösung, Granularität und Strahlenhärte bieten.
- Heutzutage Halbleiterdetektoren, die hohe Ortsauflösung und hohe Granularität bieten.

Struktur der Energiebänder in Festkörpern

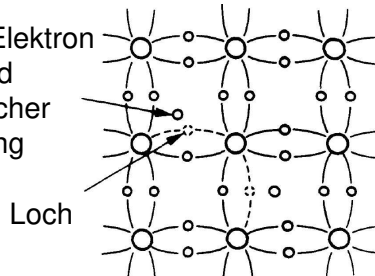


Beispiel: Kovalente Bindungen von Silizium.



$T=0\text{ K}$
Nichtleitend

Freies Elektron
aufgrund
thermischer
Anregung



$T > 0$
Leitend

Zwei Quellen des elektrischen Stroms in einem Halbleiter:

- Bewegung freier Elektronen im Leitungsband

und

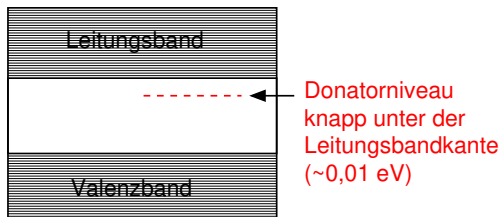
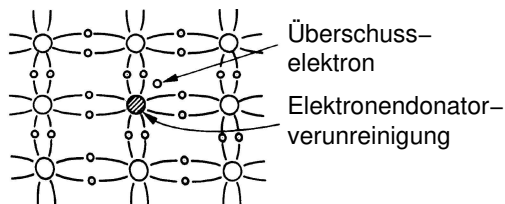
- Bewegung der Löcher im Valenzband.

(Im Metall Strom nur von der Bewegung der Elektronen im Leitungsband.)

- In **reinen Halbleitern** ist die Anzahl der freien Elektronen gleich der Anzahl der Löcher.
- In **dotierten Halbleitern** kann es mehr Elektronen als Löcher und umgekehrt geben.

Dotierung von Silizium mit pentavalenten Atomen

Pentavalente Atome: Arsen, Phosphor, Antimon.



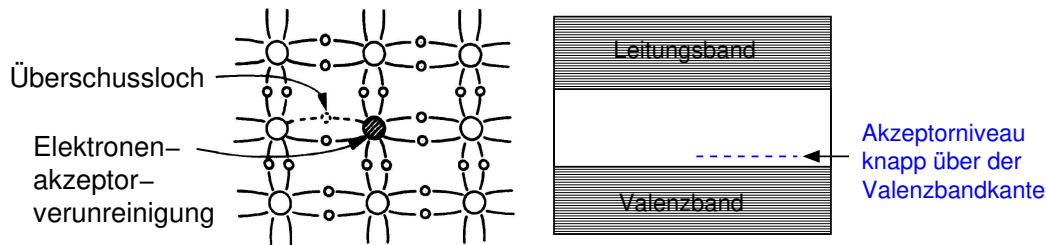
⇒ Erhöhte Leitfähigkeit durch Überschusselektronen, die sehr leicht thermisch vom Donatorniveau ins Leitungsband angeregt werden können.

Nomenklatur: n-Typ-Halbleiter.

Hauptladungsträger im n-Typ-Halbleiter: Elektronen.

Dotierung von Silizium mit trivalenten Atomen

Trivalente Atome: Gallium, Bor, Indium.

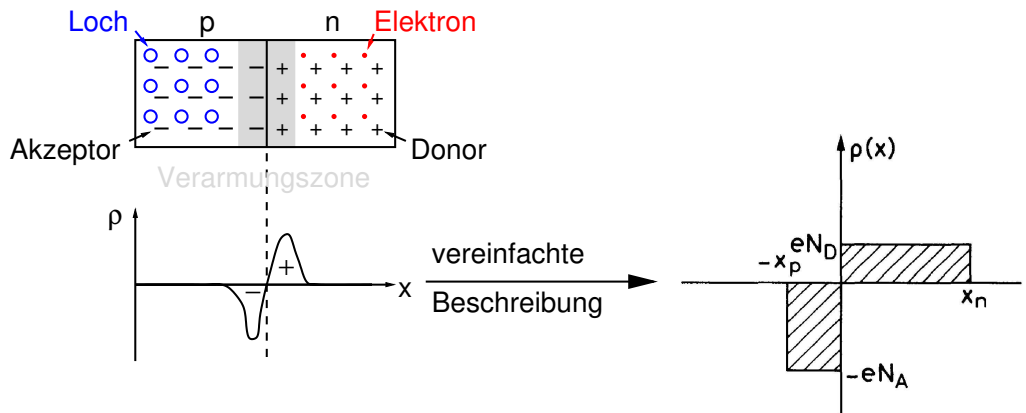


⇒ Erhöhte Leitfähigkeit durch Überschusslöcher, die entstehen, wenn Elektronen aus dem Valenzband ins Akzeptorniveau angehoben werden.

Nomenklatur: p-Typ-Halbleiter.

Hauptladungsträger im p-Typ-Halbleiter: Löcher.

Der pn-Übergang



$N_{A/D}$: Akzeptor-/Donorkonzentration

$$\rho(x) = \begin{cases} -eN_A & (x \in [-x_p, 0]) \\ +eN_D & (x \in [0, x_n]) \\ 0, & \text{sonst} \end{cases}$$

$\text{div}\vec{E} = \frac{\rho}{\epsilon}$ führt zu $\frac{dE}{dx} = \frac{\rho(x)}{\epsilon}$, so dass

$$E(x) = 0 \quad (x < -x_p, x > x_n),$$

$$E(x) = -\frac{e}{\epsilon}N_A(x + x_p) \quad (x \in [-x_p, 0]),$$

$$E(x) = +\frac{e}{\epsilon}N_D(x - x_n) \quad (x \in [0, x_n]).$$

Stetigkeit bei $x = 0$ führt zu

$$N_A x_p = N_D x_n \Leftrightarrow \frac{x_p}{x_n} = \frac{N_D}{N_A} \quad (*)$$

⇒ Die Verarmungszone erstreckt sich weiter in den Bereich geringerer Dotierungskonzentration.

Potentialdifferenz (sogenanntes **Kontaktpotential**)

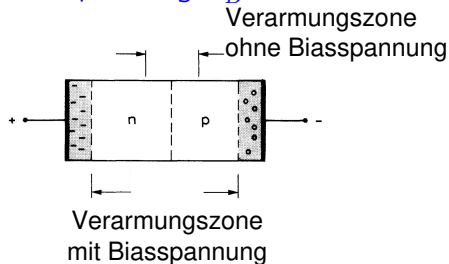
$$\begin{aligned}U_0 &= - \int_{-x_p}^{x_n} E(x) dx = + \frac{eN_A}{2\epsilon} (x + x_p)^2 \Big|_{-x_p}^0 - \frac{eN_D}{2\epsilon} (x - x_n)^2 \Big|_0^{x_n} \\ &= \frac{e}{2\epsilon} (N_D x_n^2 + N_A x_p^2)\end{aligned}$$

Größe der Verarmungszone

$$x_n = \sqrt{\frac{2\epsilon U_0}{eN_D(1 + \frac{N_D}{N_A})}}, \quad x_p = \sqrt{\frac{2\epsilon U_0}{eN_A(1 + \frac{N_A}{N_D})}}.$$

Vergrößerung der Verarmungszone

Vergrößerung der Verarmungszone durch Anlegen einer sogenannten **Biasspannung** U_B :

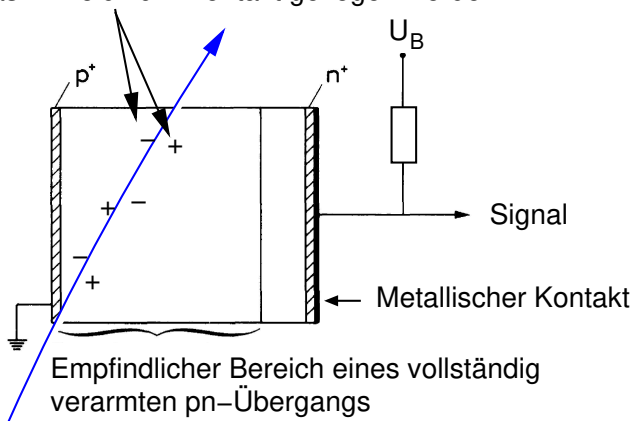


$$x_n = \sqrt{\frac{2\epsilon(U_0 + U_B)}{eN_D(1 + \frac{N_D}{N_A})}}, \quad x_p = \sqrt{\frac{2\epsilon(U_0 + U_B)}{eN_A(1 + \frac{N_A}{N_D})}}$$

$U_B \sim 300 \text{ V}$ für vollständige Verarmung des pn-Übergangs.

Grundprinzip eines Halbleiterdetektors

Freigesetzte Ladungsträger, die durch das E-Feld zum Kontakt gezogen werden



Ionisierendes Teilchen

Um die Bildung einer Diode am ohmschen Kontakt zu verhindern, deren Verarmungszone sich weit in den Halbleiter erstreckt, verwendet man an den Kontaktflächen hochdotierte Lagen.